

WC-Co 硬质合金的矫顽磁力⁽¹⁾

刘寿荣

(天津硬质合金研究所, 天津 300222)

摘要 研究了 γ 相分布和淬火处理对 WC-Co 合金矫顽磁力 H_c 的影响规律和机理。结果表明: WC-Co 合金 H_c 与 γ 相分布有着密切关系, 其随合金中 Co% 和 d_{wc} 增加而降低的程度在低 Co 合金范围内符合线性规律, 在高 Co 合金中则平缓降低, 这是由于 WC 邻接度 $C_{wc.wc}$ 对 γ 相磁畴在反磁化过程中的阻滞作用的影响; 淬火处理提高 WC-Co 合金的 H_c , 主要是由于淬火对 γ 相成分和应力状态的影响。

关键词 WC-Co 硬质合金 矫顽磁力 H_c 淬火

矫顽磁力 H_c 作为重要性能指标已广泛应用于硬质合金生产质量控制中, 如对人造金刚石生产用硬质合金顶锤的质量监控^[1], 测试方法及标准也有公布^[2]。由于影响因素较多, 各厂家应用 H_c 都是有条件和有限度的。已有的报道^[3-5] 未能明确阐明各因素对 H_c 的影响规律和相关机理。本工作将在有关的研究基础^[6-7] 上, 探讨 γ 相分布和淬火处理对 H_c 的影响规律和作用机理。

1 实验方法

原料 Co 粉: FSSS 1.7 μm , O 为 0.02%, Ni 0.05%, Fe 0.04%, 六方 α -Co/立方 β -Co = 27.71%/72.29%; WC-I 粉: FSSS 1.0 μm , 总碳 6.11%, 游离碳为痕迹量; WC-II 粉: FSSS 4.5 μm , 总碳 6.09%, 游离碳为痕迹量; 市售炭黑符合工业生产质量标准。

通过改变 Co 配比和 WC 粉粒度以变更合金试样中 γ 相分布, 在 H_2 气氛保护下经液相烧结(1420~1500 $^{\circ}\text{C}$, 保温 45~60 min)制成粗细两种粒度(d_{wc} 1.2 和 4.7 μm)的合金试样(5 mm × 5 mm × 30 mm)。

通过调整配碳量、烧结工艺和冷却速度, 大致控制合金中 γ 相成分和 γ 相结构组成, 使

用 D/MAX-RC X 射线衍射仪和金相分析筛选出 α -Co 低于 10%、 γ 相成分处于两相区上限(稍见显微石墨)的试样待用。淬火工艺为 1150 $^{\circ}\text{C}$ 保温 1 h(H_2 保护)淬入油中。

用 HCC 型仪测定试样的 H_c 。

2 结果和讨论

2.1 标称 Co 含量对 H_c 的影响

在限定各试样的 WC 晶粒度(1.2 μm)、 γ 相结构(α -Co < 10%)和 γ 相成分(合金两相区上限)均一致而仅改变合金中 Co% 的情况下, WC-Co 合金 H_c 同 Co% 的关系如图 1 所示。说明在不同的 Co% 范围内, WC-Co 合金的 H_c 随 Co% 变化的规律不同: 在低 Co 范围内, 随 Co% 增加 H_c 线性地急剧下降, 随后下降趋势减缓; 至共晶成分(约 66.7% Co)以上, 合金的 H_c 因 Co% 的改变很少变化。

由伪二元系 WC-Co 合金状态图可知, 工业 WC-Co 合金的成分处于亚共晶范围内。随 γ 相含量的改变, 合金中 γ 相分布或相应地 WC 邻接度 $C_{wc.wc}$ 发生变化。在低 Co 合金范围内表现为: 在连续的 WC 基体上孤立地分布着被 WC 骨架隔开的 γ 相段。随 γ 相含量增加, 贯通的 γ 相比例逐渐增加, $C_{wc.wc}$ 逐渐降低; 至

⁽¹⁾ 收稿日期: 1994-03-30; 修回日期: 1994-05-13

Co\% 增加到一定程度, γ 相完全贯通, 合金中 WC 晶粒多被 γ 相网络阻断; 此后, 随 Co\% 增加 $C_{\text{wc,wc}}$ 进一步降低直至共晶成分(工业合金成分范围内 $C_{\text{wc,wc}}$ 随 Co\% 增加而下降的情况见文献[8~9])。当 Co\% 超过共晶成分, 该系合金的冷凝过程是于共晶温度以上由完全溶于 γ 液相中的 WC 在初生 γ 晶界上析出; 至共晶温度则以 WC + γ 共晶形式析出。随 Co\% 增加, 在 γ 晶界上析出的 WC 晶粒的比例提高, $C_{\text{wc,wc}}$ 增大, 即随 Co\% 增加 $C_{\text{wc,wc}}$ 有增加的趋势, 如 WC-80 Co% 合金^[10](图 2)。

两相 WC-Co 合金的显微组织是 WC 相和铁磁性的 γ 相的机械混合物。鉴于铁磁性材料的磁畴尺寸一般为 $1 \sim 100 \mu\text{m}^{[11]}$, 低 Co 合金中 γ 相层厚在 $1 \mu\text{m}$ 以下, 其中的 γ 相段被 WC

骨架所阻隔而彼此孤立分布应是单磁畴颗粒, 故低 Co 合金应是由非磁性 WC 基体和单磁畴 γ 颗粒组成的聚集体, 高 Co 含量 WC-Co 合金中, γ 相部分或全部贯通在一起构成的 γ 相网络是单相 Co 基 Co-W-C 合金, γ 相具有多晶结构^[10], 一个 γ 晶粒内可以有若干 γ 磁畴, 故高 Co 合金中 γ 相网络是彼此以畴壁相毗连的多磁畴体, 合金中的 WC 晶粒作为杂质既可分布于 γ 磁畴内也可分布于 γ 磁畴壁上。如此, 低 Co 合金试样的总 H_c 取决于全部单磁畴 γ 相段的磁矩转动阻力的总和, 因而 H_c 的值很大。随 Co\% 增加, γ 相贯通的机率增加, 单磁畴 γ 相比例减少, 多磁畴 γ 相比例增加, 因而合金 H_c 逐渐降低。 H_c 的变化应随 Co\% 的变更成比例改变, 即 H_c 线性地变化, 至 Co\% 增加到一定程度(本实验条件下约为 12~13%), γ 相完全贯通成网络基体, 合金中不再有单磁畴 γ 相段, 多磁畴 γ 相的 H_c 取决于反磁化过程中磁畴壁不可逆位移和磁矩不可逆转动力的大小。虽然随 Co\% 增加 $C_{\text{wc,wc}}$ 减少, 作为杂质的 WC 晶粒在磁畴内增加会引起磁矩不可逆转动力的加大, 但是 Co\% 增加引起 γ 相平均自由程增大, 因而磁畴尺寸加大使得磁畴壁总面积减少, 加之因 $C_{\text{wc,wc}}$ 减少而使磁畴壁上 WC 晶粒减少会大大降低磁畴壁不可逆位移的阻力, 因而总的影响是随 Co\% 增加合金 H_c 下降, 不过 H_c 的变化速率减缓。当 Co\% 超过共晶成分, 随 Co\% 增加, $C_{\text{wc,wc}}$ 有增加的趋势, 合金中 WC 晶粒倾向于集中分布于 γ 晶界上, γ 磁畴内和磁畴壁上均无 WC 晶粒(如图 2), 即作为杂质的 WC 晶粒对 γ 相反磁化过程的上述两种阻止作用趋于消失, 故 H_c 值逐渐趋于稳定。

2.2 WC 晶粒度对 WC-Co 合金 H_c 的影响

图 3 为工业 WC-Co 硬质合金成分范围内合金 H_c 同 WC 晶粒度(d_{wc} : 1.2 μm 和 4.7 μm) 的关系。由图可见: 随 d_{wc} 增大 H_c 下降, 其变化幅度随 Co\% 增加而加剧, 并使 $H_c \sim \text{Co\%}$ 关系中 H_c 线性变化范围缩短。

d_{wc} 的变化引起合金中 γ 相分布的改变, 在一定的 Co\% 下随 d_{wc} 增加, $C_{\text{wc,wc}}$ 升高, γ

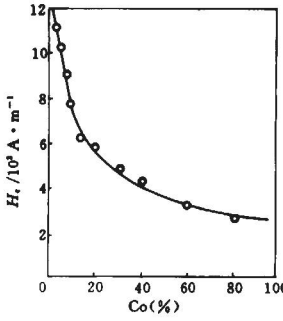


图 1 WC-Co 合金 H_c -Co% 关系

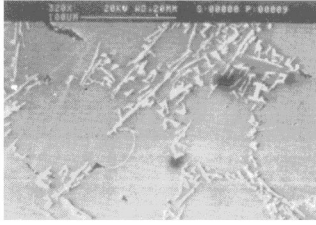


图 2 WC-80 Co 合金中 WC 的分布

相平均自由程增加^[9]。在低Co合金中表现为 γ 相磁畴尺寸增大而磁畴总数减少使合金 H_c 降低；在高Co合金中除此种变化外，作为杂质的WC晶粒随 $C_{\text{WC-WC}}$ 升高在 γ 磁畴内分布减少从而降低磁矩不可逆转动阻力引起合金 H_c 下降。此外，虽然 $C_{\text{WC-WC}}$ 升高使磁畴壁上WC晶粒增加，应提高磁畴壁不可逆位移阻力而提高 H_c ，但由于 γ 磁畴尺寸变大而使磁畴壁总面积减少还会引起 H_c 降低，故 d_{WC} 的变化对磁畴壁不可逆位移阻力的影响不大。所以， d_{WC} 增加对高Co合金的影响仍然是导致合金 H_c 下降。 d_{WC} 增大后，随Co%增加合金由WC骨架基体向 γ 相网络基体的过渡提前，这便造成低Co范围内 H_c 随Co%增加而直线下降的部分缩短。

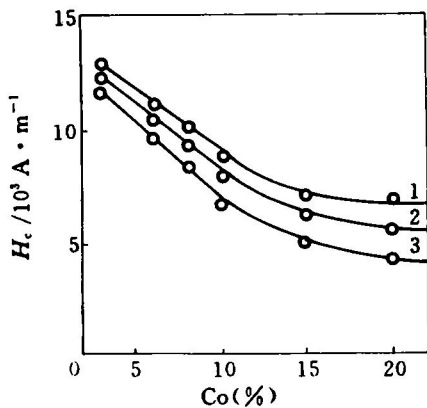


图3 WC晶粒尺寸和淬火对 H_c 的影响

1—细晶，淬火；2—细晶，烧结；3—粗晶，烧结

2.3 淬火对WC-Co合金 H_c 的影响

在本实验条件下，淬火导致相同Co含量的WC-Co合金的 H_c 提高，其变化幅度随着Co%增加而加剧(图3)。

淬火能同时改变合金组织状态和相状态，表现为淬火后在 γ 相自由程基本不变的情况下， $C_{\text{WC-WC}}$ 下降、 γ 相中W和C的固溶度增加、 β - γ 相比例提高和表面宏观压应力增加^[9]。

$C_{\text{WC-WC}}$ 改变导致合金 H_c 变化，但淬火所引起的 $C_{\text{WC-WC}}$ 改变量甚微^[9]，故其影响不大；

由于合金试样的 α -Co已被限制在10%内，虽然淬火可导致 β - γ 相含量提高而降低合金的 H_c ^[6]，其对合金的影响也甚小；淬火导致W在 γ 相中的补充固溶(C的补充固溶量可忽略)引起 γ 固溶体晶格畸变应力增加、磁晶和应力各向异性加强、饱和磁化强度的降低^[7]以及表面宏观压应力增加^[9]，都将引起 γ 相段磁化过程中阻滞作用的加强而提高合金的 H_c ，因而淬火是导致合金 H_c 变化的主要原因。随合金Co%增加，淬火引起 γ 相中W的补充固溶量愈大因而对合金 H_c 的影响愈甚。

3 结论

(1) WC-Co合金的 H_c 与 γ 相分布有密切关系。当 γ 相结构组成和 γ 相成分一致时，其 H_c 随合金中Co%和 d_{WC} 增加而降低的程度与Co%有关：在低Co范围内随Co%增加按线性规律急剧下降，在高Co合金中则降低缓慢。

(2) WC邻接度 $C_{\text{WC-WC}}$ 对合金 H_c 有影响是由于 γ 相在反磁化过程中的阻滞作用改变。

(3) 淬火处理提高WC-Co合金的 H_c ，主要是由于 γ 相成分和应力状态发生了变化。

参考文献

- 李沐山. 国外难熔金属与硬质材料, 1993, 9(2): 13, 17.
- ISO 3326—1975(1).
- Тулаков В Н. Порошковая Металургия, 1969, (3): 77—81.
- Stjernberg K G. Powder Metall, 1970, 13(25): 1—2.
- Fang Z, Eason J W. The International Journal of Powder metallurgy, 1993, 29(3): 263.
- 刘寿荣. 有色金属, 1994, 46(3): 75—78.
- Liu Shourong. Rare Metals, 1994, 13(4): 299—301.
- Ломас М Г. Порошковая Металургия, 1981, (5): 86.
- 刘寿荣. 稀有金属材料与工程, 1994, 23(2): 39—45.
- Liu, Shourong. Transactions of Nonferrous Metals Society of China, 1993, 3(2): 51—57.
- 张世远等. 磁性材料基础. 北京: 科学出版社, 1988, 49.